

การพัฒนาเครื่องนับฟ้าผ่าแบบซีเกอร์



นายวิชชัย พิชิตชัยกุล

ศูนย์วิทยทรัพยากร

วิทยานิพนธ์นี้เป็นส่วนหนึ่งของการศึกษาตามหลักสูตรปริญญาวิศวกรรมศาสตรมหาบัณฑิต

ภาควิชาวิศวกรรมไฟฟ้า

บัณฑิตวิทยาลัย จุฬาลงกรณ์มหาวิทยาลัย

พ.ศ. 2534

ISBN 974-579-190-3

ลิขสิทธิ์ของบัณฑิตวิทยาลัย จุฬาลงกรณ์มหาวิทยาลัย

017558

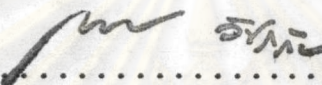
117323831



หัวข้อวิทยานิพนธ์
โดย
ภาควิชา
อาจารย์ที่ปรึกษา

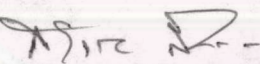
การพัฒนาเครื่องนับฟ้าผ่าแบบซีเกอร์
นายวัชชัย พิชิตชัยกุล
วิศวกรรมไฟฟ้า
รองศาสตราจารย์ ดร.สำรวย สังข์สะอาด
รองศาสตราจารย์ ดร.ณรงค์ อยู่ถนอม

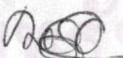
บัณฑิตวิทยาลัย จุฬาลงกรณ์มหาวิทยาลัย อนุมัติให้นับวิทยานิพนธ์ฉบับนี้
เป็นส่วนหนึ่งของการศึกษาตามหลักสูตรปริญญาโทบริหาร


..... คณบดีบัณฑิตวิทยาลัย
(ศาสตราจารย์ ดร.ถาวร วัชรากัย)

คณะกรรมการสอบวิทยานิพนธ์


..... ประธานกรรมการ
(รองศาสตราจารย์ สัมภ์ ศิวารัตน์)


..... อาจารย์ที่ปรึกษา
(รองศาสตราจารย์ ดร.สำรวย สังข์สะอาด)


..... อาจารย์ที่ปรึกษา
(รองศาสตราจารย์ ดร.ณรงค์ อยู่ถนอม)


..... กรรมการ
(รองศาสตราจารย์ ดร.บัณฑิต โรจนอารยานนท์)


..... กรรมการ
(รองศาสตราจารย์ ดร.เอกชัย ลีลารัมย์)

ธวัชชัย พิเชิตชัยกุล : การพัฒนาเครื่องนับฟ้าผ่าแบบซีเกอร์ (DEVELOPMENT OF THE CIGRE LIGHTNING FLASH COUNTER) อ.ที่ปรึกษา : รศ.ดร.สำรวย สังข์สะอาด และ รศ.ดร.ณรงค์ อยู่ถนอม, 109 หน้า. ISBN 974-190-3

วิทยานิพนธ์ฉบับนี้ รายงานถึงการศึกษาพัฒนาเครื่องนับฟ้าผ่าแบบซีเกอร์ เพื่อเก็บข้อมูลการเกิดฟ้าผ่าลงดินในภูมิภาคนี้ เครื่องนับที่ออกแบบสร้างเป็นแบบซีเกอร์ 10 กิโลเฮิร์ตซ์ ประกอบด้วย 4 วงจรคือ วงจรสายอากาศ วงจรกรองผ่านแถบ วงจรดึงความไวและวงจรนับจำนวน ตรวจสอบการทำงาน และวิเคราะห์ผลตอบสนองของวงจรอิเล็กทรอนิกส์ สายอากาศ และวงจรกรองความถี่ ผลปรากฏว่า เครื่องที่สร้างมีผลการทำงาน และผลตอบสนองความถี่ได้ตามมาตรฐานซีเกอร์ กำหนดระยะห่างรัศมีทำงานยังผลด้วยวิธีการดึงความไวการทำงาน ด้วยคลื่นไซน์ตามมาตรฐานซีเกอร์ ใช้เครื่องนับฟ้าผ่าจำนวน 10 เครื่อง เก็บข้อมูลการเกิดฟ้าผ่าในช่วงฤดูฝนของปี พ.ศ. 2533 บริเวณ จังหวัดชลบุรี และระยอง เพื่อหาค่าความหนาแน่นฟ้าผ่า เปรียบเทียบกับอันเดอร์สโตร์ม เดย์, ตำแหน่ง เส้นรุ้งและปริมาณน้ำฝน ใช้เครื่องนับจำนวนหนึ่งเครื่อง เปรียบเทียบการนับกับเครื่องจากต่างประเทศโดยติดตั้งเครื่องนับทั้งสองบนศาลฟ้าชั้น 6 ของอาคารวิศวกรรมไฟฟ้า คณะวิศวกรรมศาสตร์จุฬาลงกรณ์มหาวิทยาลัย จากการเปรียบเทียบเป็นรายเดือน ได้ผลความแตกต่างจำนวนอัตราการนับสูงสุดประมาณ 1.8



ภาควิชา วิศวกรรมไฟฟ้า
สาขาวิชา วิศวกรรมไฟฟ้า
ปีการศึกษา 2533

ลายมือชื่อนิติกร ธีระศักดิ์
.....

ลายมือชื่ออาจารย์ที่ปรึกษา ธีระศักดิ์
.....

ลายมือชื่ออาจารย์ที่ปรึกษา ธีระศักดิ์
.....

พิมพ์ต้นฉบับบนกระดาษถ่ายวิทยุภายในกรอบสี่เหลี่ยมนี้เพียงแผ่นเดียว

TAVATCHAI PICHIDCHAIKUL : DEVELOPMENT OF THE CIGRE LIGHTNING
FLASH COUNTER. THESIS ADVISERS : ASSO.PROF.SAMRUAY SANGKASAAD,
Dr. Sc.techn. AND ASSO.PROF.NARONG YOOTHANOM, Ph.D., 109 pp.

This thesis presents the study and development of a lightning flash counter for counting local ground flashes. The counter consists of four circuits, namely, antenna, band pass filter, threshold setting and register circuits. The counter was designed in accordance with the CIGRE 10 KHz lightning flash counter. The characteristics and performance of the counter were tested. The frequency response and sensitivity of the counter are compared with the CIGRE specifications. Effective range of the counter is obtained by setting the threshold voltage of the counter in accordance with the CIGRE's recommendation. The average ground flash density was carried out by using 10 counters during the rainy season of 1990 in Chonburi and Rayong regions. The evaluated densities are compared with annual thunderstorm days, region of latitude and rainfall.

A comparison of the number of lightning flashes was made between the measured values obtained from the designed counter and the CIGRE counter by installing both counters on the top of sixth floor of the Electrical Engineering building at Faculty of Engineering, Chulalongkorn University, it was found that the maximum counting ratio of those data from the CIGRE counter to those from the designed one was 1.8

ภาควิชา วิศวกรรมไฟฟ้า
สาขาวิชา วิศวกรรมไฟฟ้า
ปีการศึกษา 2533

ลายมือชื่อนิสิต ๓๖๕๐ พงษ์เกียรติ
ลายมือชื่ออาจารย์ที่ปรึกษา ๓๖๕๐
ลายมือชื่ออาจารย์ที่ปรึกษาร่วม



กิตติกรรมประกาศ

วิทยานิพนธ์ฉบับนี้ได้สำเร็จลุล่วงไปได้ด้วยความช่วยเหลืออย่างดียิ่ง
ของรองศาสตราจารย์ ดร.สำราญ สังข์สะอาด และ รองศาสตราจารย์
ดร.ณรงค์ อยู่ถนอม อาจารย์ที่ปรึกษาวิทยานิพนธ์ ซึ่งท่านได้ให้คำแนะนำและ
ข้อคิดเห็นต่างๆ ของการวิจัยมาด้วยดีตลอด

ท้ายนี้ ผู้วิจัยใคร่ขอขอบพระคุณ ฝ่ายวิจัย จุฬาลงกรณ์มหาวิทยาลัย
ซึ่งสนับสนุนเงินทุน โครงการพัฒนาวิชาการด้านวิทยาศาสตร์และเทคโนโลยี
สำหรับการวิจัยครั้งนี้

ศุภลักษณ์ วิทยทรัพย์ากร
จุฬาลงกรณ์มหาวิทยาลัย



สารบัญ

	หน้า
บทคัดย่อภาษาไทย	ง
บทคัดย่อภาษาอังกฤษ	จ
กิตติกรรมประกาศ	ฉ
สารบัญตาราง	ญ
สารบัญภาพ	ฉ

บทที่

1. บทนำทั่วไป	1
1.1 อันตรายและความเสียหายจากฟ้าผ่าพื้นโลก	1
1.2 ข้อมูลฟ้าผ่าและประโยชน์	1
1.3 ปัญหาและวัตถุประสงค์	2
1.4 ประวัติการศึกษาวิจัยเครื่องนับฟ้าผ่า	2
1.4.1 การพัฒนาเครื่องนับฟ้าผ่า	3
1.4.2 มาตรฐานเครื่องนับฟ้าผ่า	5
1.4.3 เครื่องนับฟ้าผ่าในประเทศไทย	6
1.5 วิธีดำเนินการวิจัยโดยย่อ	6
2. ฟ้าผ่าและเครื่องนับฟ้าผ่า	7
2.1 การเกิดฟ้าผ่าในธรรมชาติ	7
2.1.1 ฟ้าผ่าพื้นโลก	10
2.1.2 ฟ้าผ่าก้อนเมฆ	15
2.2 การเปลี่ยนแปลงสนามไฟฟ้าและการเปลี่ยนแปลง เค. .	15
2.2.1 การใช้สายอากาศ	
วัดการเปลี่ยนแปลงสนามไฟฟ้า	17
2.2.2 การเปลี่ยนแปลง เค. ในฟ้าผ่าก้อนเมฆ	18
2.2.3 เปรียบเทียบฟ้าผ่าพื้นโลกและฟ้าผ่าก้อนเมฆ ..	19
2.2.4 การเปลี่ยนแปลงสนามไฟฟ้าเทียบกับระยะห่าง .	20

สารบัญ (ต่อ)

	หน้า
2.3 ความสม่ำเสมอการเกิดฟ้าผ่า	23
2.3.1 สถานที่ ที่ฟ้าชอบผ่า	24
2.3.2 การเก็บข้อมูลฟ้าผ่าสู่ดินด้วยเครื่องนับฟ้าผ่า ..	26
2.4 เครื่องนับฟ้าผ่า	30
2.4.1 การทำงานพื้นฐาน	31
2.4.2 การเกิดศักย์ไฟฟ้าในสายอากาศ	31
2.4.3 วงจรกรองความถี่	39
2.4.4 วงจรหน่วงเวลา	50
3. การออกแบบสร้างวงจรเครื่องนับฟ้าผ่า	51
3.1 วงจรเครื่องนับฟ้าผ่า	51
3.2 สายอากาศ	51
3.3 การออกแบบสร้างเครื่องนับฟ้าผ่าตามวงจรซีเกอร์	51
3.3.1 คุณสมบัติของสายอากาศ	54
3.3.2 วงจรกรองผ่านแถบ	54
3.3.3 วงจรหน่วงเวลา	57
3.3.4 วงจรนับจำนวน	58
3.4 เครื่องมือและวิธีการปรับเทียบความไวเครื่องนับฟ้าผ่า ..	59
3.5 รายการอุปกรณ์สำหรับเครื่องนับฟ้าผ่า	60
4. การทดสอบและการวิเคราะห์ผลการทดสอบ	61
4.1 บทนำ	61
4.2 การทดสอบวงจรอิเล็กทรอนิกส์	61
4.2.1 ทดสอบผลตอบสนองวงจรกรองผ่านแถบ	61
4.2.2 การปรับเทียบความไวเครื่องนับฟ้าผ่า	64
4.2.3 ทดสอบอุณหภูมิใช้งาน	66
4.2.4 ทดสอบวงจรหน่วงเวลา	67
4.3 ทดสอบการทำงานและการใช้งาน	68
4.3.1 ทดสอบอายุการใช้งานแบตเตอรี่	68
4.3.2 ทดสอบการนับการเกิดสปาร์กในห้องปฏิบัติการ ..	68
4.3.3 ทดสอบสัญญาณรบกวนจากเครื่องยนต์	69

สารบัญ (ต่อ)

	หน้า
4.3.4 ทดสอบการลดทอนความไวเนื่องจาก วัตถุข้างเคียง	69
4.3.5 ทดสอบเครื่องนับฟิลาผ่าในธรรมชาติ	72
4.4 ทดสอบการนับกับเครื่องจากต่างประเทศ	74
4.5 ทดสอบวิธีที่มีทำงานยังผล	78
5. สรุปการวิจัยและข้อเสนอแนะ	80
เอกสารอ้างอิง	82
ภาคผนวก	85
ก. องค์ประกอบวงจรกรองผ่านแถบ ของเครื่องนับฟิลาผ่าแบบต่างๆ	86
ข. ตัวอย่างไปรษณียบัตรบันทึกข้อมูลจาก เครื่องนับฟิลาผ่าเป็นรายสัปดาห์ส่งถึงผู้วิจัย	87
ค. ปริมาณน้ำฝนโดยเฉลี่ย บริเวณซึ่งติดตั้งเครื่องนับฟิลาผ่า บางจุดและจำนวนฟิลาผ่าเทียบกับปริมาณน้ำฝน.....	92
ง. รายละเอียดของตัวกับดักแรงดันเกิน	96
จ. รายละเอียดวงจรสร้างสัญญาณรูปคลื่นขั้นบันได และรูปคลื่นฟิลาผ่าจำลอง	100
ฉ. รายละเอียดวงจรเครื่องนับฟิลาผ่าแบบต่างๆ	102
ประวัติผู้เขียน	109

สารบัญตาราง

ตารางที่	หน้า
1.1	เปรียบเทียบการเปลี่ยนแปลงสนามไฟฟ้าระหว่าง ฟ้าผ่าสู่ดินและฟ้าผ่าก้อนเมฆ[3] 4
1.2	แสดงรัศมีทำงานยังผลและตัวปรับค่าการนับ[3] 5
2.1	แสดงข้อมูลความหนาแน่นฟ้าผ่าสู่ดินจากเครื่องนับฟ้าผ่า เปรียบเทียบกับค่าความถี่ Td เดียวกัน จากรูปที่ 2.16[26] 25
2.2	ปริมาณน้ำฝน(mm)และจำนวนการเกิดฟ้าผ่าสู่ดิน เฉลี่ยในปี ค.ศ. 1958-60 ที่ออสเตรเลีย[3] 26
4.1	ความถี่ตอบสนองของวงจรภาคอินพุตของเครื่องนับฟ้าผ่า. . 62
4.2	แสดงแรงดันทดสอบทำให้เครื่องนับทำงาน ที่ความถี่ต่างๆ 65
4.3	ทดสอบความไวที่ 10 กิโลเฮิรตซ์ 66
4.4	แสดงผลการทดสอบอนุกรมหมึใช้งาน 67
4.5	ผลการทดสอบการทำงานด้วยรูปคลื่นฟ้าผ่าจำลอง 68
4.6	ผลการทดสอบสัญญาณรบกวนจาก เครื่องยนต์ในระยะใกล้ 69
4.7	แสดงให้เห็นว่าการทำงานของเครื่องนับฟ้าผ่า ขึ้นอยู่กับลักษณะการติดตั้ง 71
4.8	แสดงข้อมูลฟ้าผ่าในปี พ.ศ. 2533 73
4.9	เปรียบเทียบการนับกับเครื่องจากต่างประเทศ 75
4.10	เปรียบเทียบการนับกับเครื่องจากต่างประเทศ เดือนเมษายน 2533 76

สารบัญภาพ

รูปที่		หน้า
2.1	ภาพถ่ายการเกิดดีสชาร์จของประจุไฟฟ้าเคลื่อนตัวสู่พื้นโลก[18]	7
2.2	แสดงการก่อตัวของก้อนเมฆ[19]	8
2.3	แสดงการกระจายและสะสมประจุไฟฟ้าในเมฆฝนฟ้าคะนอง[1]	9
2.4	แสดงถึงการเกิดฟ้าผ่าลงสู่ดินซึ่งบันทึกจากกล้องถ่ายภาพฟิล์มเคลื่อนที่จากซ้ายไปขวา[3]	10
2.5	ภาพถ่ายฟ้าผ่าขึ้น[18]	11
2.6	แสดงลักษณะการดีสชาร์จของประจุในก้อนเมฆทำให้เกิดฟ้าผ่าซ้ำ[20]	12
2.7	ฟ้าผ่าพื้นโลกช่วงที่สนามไฟฟ้าเปลี่ยนแปลงอย่างทันทีทันใดและมีค่าสูง คือช่วงลำฟ้าผ่าย้อนกลับ[3]	13
2.8	องค์ประกอบทางเรขาคณิตใช้คำนวณความเข้มสนามไฟฟ้าของลำฟ้าผ่าย้อนกลับ[21]	16
2.9	แสดงการวัดการเปลี่ยนแปลงสนามไฟฟ้าเนื่องจากฟ้าผ่า[22]	17
2.10	ผลการวัดสนามไฟฟ้าของฟ้าผ่าสู่ดินใช้วงจรสายอากาศมีค่าคงตัวเวลา 0.3 มิลลิวินาที และ 4 วินาทีตามลำดับ[23]	17
2.11	แสดงขนาดความเปลี่ยนแปลงสนามไฟฟ้าของฟ้าผ่าสู่ดินที่ระยะห่างประมาณ 50 กิโลเมตร[3]	19
2.12	การเปลี่ยนแปลงสนามไฟฟ้าที่ระยะห่างประมาณ 20 กิโลเมตร เปรียบเทียบความถี่ตอบสนองของวงจรสายอากาศโดยไม่ได้กำหนดมาตราส่วนไว้[24]	20
2.13	การเปลี่ยนแปลงสนามไฟฟ้าของฟ้าผ่าสู่ดินที่ระยะห่าง 3-20 กิโลเมตร[22]	21

สารบัญภาพ(ต่อ)

หน้า

รูปที่

2.14	(ก) องค์ประกอบการเปลี่ยนแปลงสนามไฟฟ้าเนื่องจาก ลำฟ้าผ่าย้อนกลับ(ข) การเปลี่ยนแปลงสนามไฟฟ้าที่วัดได้ ตามสมการ 2.1 ที่ระยะห่างต่างๆกัน[24]	22
2.15	ชั้นเดอร์ สตอร์มเดย์ รายงานโดย Climatological Data of Thailand[25]	23
2.16	แสดงความสัมพันธ์ระหว่างชั้นเดอร์ สตอร์มเดย์กับสมการ ความหนาแน่นฟ้าผ่าสู่ดินสำหรับสถานที่ต่างๆทั่วโลก เทียบกับสมการที่ 2.3[26]	25
2.17	แสดงการทำงานของเครื่องนับฟ้าผ่าในอุดมคติ มีรัศมีทำงานคือ R_g กิโลเมตร	28
2.18	แสดงเส้นการทำงานของเครื่องนับฟ้าผ่าในอุดมคติ และเครื่องนับฟ้าผ่าจริง	29
2.19	องค์ประกอบวงจรเครื่องนับฟ้าผ่าแยกเป็นส่วนๆ	31
2.20	แสดงสายอากาศวางในสนามไฟฟ้า[15]	32
2.21	แสดงประจุเหลือค้างบนสายอากาศ เกิดศักย์ไฟฟ้า U_a ทันที[15]	32
2.22	แสดงแรงดันเหนี่ยวนำในสายอากาศ และวงจรสายอากาศ[24]	33
2.23	แสดงวงจรสมมูลของสายอากาศ	34
2.24	แสดงผลตอบสนองแรงดันของวงจรสายอากาศต่อการ เปลี่ยนแปลงสนามไฟฟ้าแบบขั้นบันได[28]	35
2.25	แสดงตัวอย่างการใช้งานสายอากาศวัดค่าความเปลี่ยนแปลง สนามไฟฟ้าและแสดงวงจรสมมูลวงจรวัด	36
2.26	ผลตอบแทนความถี่ผ่านสูงของสายอากาศ[28]	37
2.27	ผลตอบแทนความถี่ผ่านต่ำของสายนำสัญญาณ[28]	38
2.28	แสดงวงจรกรองผ่านแถบพื้นฐานประกอบด้วยวงจรกรอง ผ่านสูง(Ca.R1) และวงจรกรองผ่านต่ำ(C2.R2)[29] ...	39

สารบัญภาพ(ต่อ)

รูปที่	หน้า
2.29 แสดงผลตอบสนองแรงดันและมุมต่างเฟส ของความถี่คลื่นไซน์[30]	40
2.30 แสดงผลตอบสนองความถี่คลื่นไซน์ของวงจรกรองผ่านแถบ ตามมาตรฐานซีเกอร์ 10 กิโลเฮิรตซ์[28]	41
2.31 แสดงภาพแรงดันตกคร่อม R1	46
2.32 แสดงวงจรซึ่งให้แรงดันด้านออกเท่ากับในรูปที่ 2.31	46
3.33 แสดงวงจรสมมูลเพื่อปรับปรุงแรงดัน ด้านเข้าวงจรในรูปที่ 2.28	47
2.34 แสดงลักษณะและระยะเวลาของฟ้าผ่าสู่ดิน[24ม26]	50
3.1 แสดงรายละเอียดวงจรเครื่องนับฟ้าผ่าที่สร้าง[17]	52
3.2 ลักษณะการติดตั้งสายอากาศในแนวตั้ง สำหรับเครื่องนับฟ้าผ่า	53
3.3 แสดงวงจรสมมูลภาคอินพุตของเครื่องนับฟ้าผ่า	55
3.4 แสดงวงจรหน่วงเวลาของวงจรในรูปที่ 3.1	57
3.5 แสดงวงจรมับจำนวนแบบกลไก	58
3.6 แสดงส่วนสำคัญของวงจรเครื่องนับฟ้าผ่าซึ่งกำหนด โดยมาตรฐานซีเกอร์คือ การเปลี่ยนแปลง E, วงจรกรองและวงจรหน่วง	59
4.1 แสดงวงจรสมมูลภาคอินพุตของเครื่องนับฟ้าผ่า	61
4.2 แสดงความถี่ตอบสนองของวงจรภาคอินพุต ของเครื่องนับฟ้าผ่า	63
4.3 แสดงวงจรทดสอบเพื่อปรับค่าความไวตอบสนอง ของเครื่องนับฟ้าผ่า ตามข้อกำหนดซีเกอร์	64
4.4 แสดงตำแหน่ง x ที่เหมาะสมสำหรับ ติดตั้งเครื่องนับฟ้าผ่า[31]	70
4.5 แสดงตำแหน่งเครื่องนับฟ้าผ่าที่ติดตั้งในปี พ.ศ.2533	72

สารบัญภาพ(ต่อ)

รูปที่	หน้า
4.6	แสดงภาพเครื่องนับฟ้าผ่าจากต่างประเทศและเครื่องที่สร้าง โดยติดตั้งเครื่องนับทั้งสองเครื่องห่างกันประมาณ 10 เมตร บนดาดฟ้าตึกไฟฟ้า คณะวิศวกรรมศาสตร์ จุฬาลงกรณ์มหาวิทยาลัย73
4.7	ลักษณะโครงสร้างสายอากาศแผ่นจานกลม และสูตรการคำนวณความสูงประสิทธิผล77

ศูนย์วิทยทรัพยากร
จุฬาลงกรณ์มหาวิทยาลัย